

상수리나무 邊材와 心材의 热板乾燥에 關한 研究^{*1}

鄭 希 錫^{*2} · 李 強 宇^{*2}

Study on Press-drying of Sapwood and Heartwood of Oak^{*1}

Hee Suk Jung^{*2} · Phil Woo Lee^{*2}

Press drying was used on sapwood and heartwood of oak (*Quercus acutissima Carruthers*) to find profitable means of drying low grade logs. This study was designed to investigate the process of press drying considering core temperature, current moisture content, drying rate, drying time, final moisture content, dimensional change and drying defects. The drying tests were conducted using 1.5 centimeter thick material at platen temperature of 175°C. and pressure of 35psi. The results were summarized as follows.

1. Core temperature was divided into three stages of drying characterized by initial heating period, plateau temperature, and period of rising core temperature. Plateau temperature of heartwood material was higher and longer than that of sapwood material.
2. The predicting equation for change in drying rate of sapwood material was $\log y = -2.7925 - 0.0811x$ as function of time. That of heartwood material was $\log y = -3.3382 - 0.0468x$.
3. Sapwood material reduced the moisture content from 59 to 2.5 percent in 45minutes. Heartwood material reduced the moisture content from 64 to 3.3 percent in 55 minutes.
4. Shrinkage during press drying were 20.4 percent in thickness direction and 2.5 percent in width direction. Recovery on equilibrium conditioning at 65 percent relative humidity and temperature of 20°C. were 11.4 percent in thickness direction and 49.4 percent in width direction.
5. Heartwood material developed severe honeycombing and moderate checking. The sapwood material dried without honeycombing, checking and collapse. All material kept wood flat.

低質材 乾燥의 한 方案으로서 상수리나무 板材를 热板乾燥하였다. 热板乾燥條件은 邊材와 心材의 두께 1.5cm板材를 热板溫度 175°C, 壓力 35psi로 乾燥하여, 乾燥時 內部溫度, 乾燥中 含水率 및 乾燥速度의 變化, 乾燥時間과 末期含水率, 乾燥材의 차수變化, 乾燥損傷 等을 調査한 結果를 要約하면 다음과 같다.

1. 板材의 內部溫度는 乾燥初期에 급격히 上昇하여 일정한 수준을 유지된 다음 적시히 上昇하였다. plateau temperature는 心材가 邊材보다 높고 유지기간도 길었다.
2. 乾燥時間에 따라 乾燥速度는 減少하였고 邊材의 乾燥速度는 $\log y = -2.7925 - 0.0811x$, ($r = -0.976$), 心材의 乾燥速度는 $\log y = -3.3382 - 0.0468x$ ($r = -0.976$)의 曲線으로 나타났다.
3. 所要되는 乾燥時間은 心材가 邊材보다 길었고, 邊材는 初期含水率 59%에서 末期含水率 2.5%까지 乾燥하는데 45分, 心材는 初期含水率 64%에서 末期含水率 3.3%까지 55分이 각각 所要되었다.
4. 乾燥材의 平均 두께收縮率은 20.4%, 平均 幅收縮率은 2.5%이고, 平均 두께復元率은 11.4% 平均 幅復元率은 49.4%로서 두께는 幅보다 收縮率은 높으나 復元率은 적었다.
5. 邊材는 内部割裂 等의 乾燥損傷이 거의 없었으나 心材는 内部割裂이 심하게 나타났다.

*1 Received for publication in Oct. 10, 1977.

*2 서울大學校 農科大學 College of Agriculture, Seoul National University

緒論

木材를 乾燥하지 않고 그대로 使用하면 收縮에 依한 變形과 理學的 性質이 크게 떨어질 뿐만 아니라 接着과 塗裝等 加工工程에서 여러 가지被害가 나타난다. 그래서 木材의 損傷防止, 理學的 性質과 加工的 性質을 改善하기 위해 使用하는 場所에 알맞는 含水率까지 乾燥하여 使用하게 된다.

木材의 乾燥는 상당한 技術과 時間이 要求되고 乾燥損傷이 나타나기 때문에 乾燥時間의 短縮이나 乾燥損傷을 最小化하기 위해 몇 가지 特殊乾燥法이 알려져 있으나 乾燥費用이 많이 들어 널리 使用되지 않고 있다. 그래서 木材乾燥는 主로 热氣乾燥法에 따르고 있는 實情이다.

근래에 와서 產業發展과 더불어 乾燥材의 認識이 높아지고 乾燥材의 需要가 날로 늘어나고 있다. 그러나 供給되는 木材의 質은 점차 떨어지고 있다. 특히 國內林產資源은 大部分 幼齡林으로構成되어 있어 금후 막대한 需要量을 충당하기 위해서는 速成短伐期 樹種의 大量增植利用과 現在까지 低利用 또는 未utilization利用이 적극적으로 추진되어야 할 것이다. 速成短伐期 木材나 小徑低質材 利用問題가 대두됨에 따라 적절한 加工法이 밝혀져야 할 것이다. 이들 木材는 大部分 未熟材(juvenile wood)로構成되어 있기 때문에 收縮異方性이 크고 치수가 不安全한 性質을 갖고 있다. 특히 小徑低質材는 弯曲이 많고 變曲되어 있기 때문에 이의 製品에 热氣乾燥를適用하면 乾燥損傷이 심하므로 効率의 乾燥方法이 강구되어야 할 것이다.

本研究에서는 乾燥損傷이 잘 나타나고 乾燥가 느린 樹種의 하나인 上수리나무 板材를 使用하여 乾燥時間의 短縮은 물론 warping을 最大한 防止하기 위해 特殊乾燥의 한 方法으로 最近에 그重要性이 평가되고 있는 热板乾燥를 實施하였다. 热板乾燥에서 基本의 性質로서 乾燥中板材의 内部溫度, 含水率 및 乾燥速度의 變化, 乾燥材의 收縮率과 復元率, 乾燥損傷 등을 안고자 하였다.

研究史

木材乾燥에서 乾燥時間의 短縮이나 乾燥損傷을 줄이기 위한 特殊乾燥法이 있는데, 지금까지 알려져 있는 特殊乾燥法에 對해 Kollmann(1968)^①은 高溫乾燥(high temperature drying), 化學乾燥(chemical seasoning), 高周波乾燥(hight frequency dielectric drying),

蒸熱(Joule's heat)에 依한 乾燥, 真空乾燥(vacuum drying), 有機溶劑乾燥(solvent drying), 有機化學物의 蒸氣乾燥(vapor drying), oily liquid에 依한 乾燥 그리고 赤外線에 依한 乾燥(drying by infra-red radiation)等을 언급하고 있다. 그러나 近來에 와서 木材工業에 直面하고 있는 未熟材와 小徑低質材의 利用에 있어 치수 安全性의 적기 때문에 從來의 特殊乾燥法으로는 warping이 심하게 나타남으로 새로운 乾燥法이 要求되게 이르렀다. warping의 發生을 防止하고 빨리 乾燥하기 위해 Koch(1964)^②는 高溫과 壓力を 適用한 热板乾燥를 實施한 바 있는데 Southern pine 7/16인치板材를 大氣壓以上의 壓力과 溫度 300°F에서 热板乾燥한結果 기준의 다른 乾燥法보다 乾燥速度가 빠르고 bow, crook, 幅收縮이 적음을 報告하였다. Mckean(1966)^③는 너도밤나무 邊材와 心材板材를 330°F에서 热板乾燥를 實施한結果 邊材板材는 2時間에 乾燥되나 乾燥損傷이 일어 난다고 報告하였다. Heebink et al (1966)^④는 低質闊葉樹로 부터 마루板과 paneling用으로 乾燥하기 위해 溫度 300~350°F, 壓力 50~100psi 條件에서 热板乾燥의 所要 乾燥時間과 乾燥損傷等을 報告하였다 Hann(1966)^⑤는 yellow poplar를 빨리 乾燥하기 위해 高溫과 大氣壓以上의 壓力を 適用해서 乾燥의 mechanism과 材質變化에 對한 研究에서 壓力이 를수록 热에 依한 退化가 커짐을 報告하였다. Schmidt(1967)^⑥는 너도밤나무의板材를 溫度 165°C, 壓力 170~200psi로 热板乾燥할 때에 乾燥時間別木材溫度, 含水率 壓力別板材두께의 變化, 乾燥材의 比重과 치수 安全性 等을 調查한結果 從來에 未utilization의 低質 너도밤나무로도 比較의 우수한 마루板用으로 乾燥利用할 수 있음을 報告하였다. Turkia(1968)^⑦은 caul의 形態가 乾燥時間에 미치는 研究에서 無通氣 caul, 通氣 caul 그리고 通氣 caul과 40mesh의 wire cloth를 각각 使用해서 乾燥時間을 調査한 Daniels의 研究結果를 인용보고하였고, Turkia et al (1968)^⑧는 aspen 邊材의 热板乾燥에서 乾燥速度乾燥經過 및 乾燥材의 치수安全性 等을 報告하였다. Hittmeier et al (1968)^⑨은 美國產闊葉樹 8樹種가 심나무 低質原木를 paneling과 pallet用으로 热板乾燥한結果 乾燥時間이 많이 短縮되고 材質은 热氣乾燥材와 비슷하여 모든 樹種의 邊材와 乾燥損傷이 적은 樹種의 心材는 热板乾燥가 가능함을 韻告하였다. Haygreen et al (1968)^⑩은 aspen과 paper birch를 家具用으로 利用하기 위해 热板乾燥할 때에 乾燥時間에 미치는 影響因子, 乾燥損傷 및 經濟의 實用性 等의 研究에서板材두께가 두꺼울 수록 經濟의 實用性이 있음을 밝혔다. Kimball (1968)^⑪은 loblolly pine의 두꺼운 sliced veneer와 薄은

製材本을 烘氣乾燥, 豆斗型單板乾燥(roller-type veneer drying) 및 热板乾燥 등 3가지 乾燥法을 適用해서 乾燥時間과 치수變化를 서로 比較하였다.

Cheh et al (1968)¹⁾은 生材狀態인 潤葉樹材를 高溫乾燥時에 낙면과 内部割裂의 發生을 防止하기 위해 乾燥前에 transverse compression을 處理하여 高溫乾燥하면 乾燥損傷이 적어질을 報告하였다. Lutz(1974)¹⁰⁾은 單板乾燥時에 發生되는 buckling과 end waviness을 防止하기 위해 flatsliced walnut veneer의 適切한 热板乾燥의 條件을 敷告하였고, Wang et al (1975)¹⁶⁾는 red oak의 热板乾燥에 對한 研究에서 板材부속, 初期含水率, 溫度, 圧力 等諸因子가 乾燥速度에 미치는 影響에 대해 報告하였다. Koch (1972)⁹⁾와 寺澤(1976)¹³⁾은 그들의 著述에서 热板乾燥은 特殊乾燥의 한 方法으로서 認定하고 있다.

以上과 같이 热板乾燥에 對한 研究는 비교적 늦게着手된 以來 계속研究가 수행되고 있으나 우리 나라에서는 아직 热板乾燥에 對한 研究가 없다. 林產資源

의 不足를 아울러 低質 小徑材의 利用이 크게 대두되고 있는 우리의 實情을 고려 考慮한다면 热板乾燥에 對한 研究가 必要하다고 生觀된다.

材料 및 方法

1. 試 料

1) 供試木: 使用한 전수리나무는 가을農大 水原演習林에 自生한 林木에서材長 1m인 原木을 採取하였다. 採取한 原木는 水分蒸發과 橫斷面割裂을 防止하기 위해 폐열式로 엔드 커팅하여 研究室內 貯蔵하였다.

2) 供試片: 原木를 두께 1.5cm, 幅 9cm로 製材한以後 心材와 濛材로 区分하여 試片의 長이가 25cm가 되도록 제작해 供試片을 만들었다. 供試片은 乾燥하지 않게 깊은 가마니로 置して 通風이 안되는 곳에 차장되었어서 使用하였다. 供試片의 試驗條件는 表 1과 같다.

表 1. 供試片의 條件

調査項目	材種	크기(cm)	初期含水率(%)	生材比重	數量
内部溫度	邊材	두께 1.4 × 幅 8.4	58	0.64	3
	心材	두께 1.5 × 幅 8.5	63	0.66	3
乾燥中含水率(%)	邊材	두께 1.5 × 幅 8.9	59	0.63	5
	心材	〃 1.5 × 〃 8.9	64	0.63	5
치수變化	心邊材	두께 1.5 × 幅 8.9	61	0.64	16
乾燥損傷					

3) 供試機器

(1) 烘氣機: 烘板크기는 7×10인치인 油壓式 烘氣機를 使用하였다.

(2) Caul: 烘板과 乾燥材 사이에 넣어서 水分排除과 전 터트를 通氣케이블(ventilated caulk)을 使用하였다. 각각의 크기는 두께 6.4mm, 幅 175mm, 長이 254mm이고, 카울의 모양은 카울의 한 면에 直徑 3.2mm인 구멍을 4万 25mm 간격으로 뽑고, 다른 한면에는 角形의 구멍(幅 4.5mm, 길이 1.5mm)을 카울의 길이 方向으로 뽑았다.

(3) 溫度指示計: 木材의 内部溫度 测定에는 热電式 溫度計를 使用하였는데 이 溫度計의 性能은 溫度範圍가 0~400°C이고 精度는 ±1deg.이다. 그리고 應答은 中速에 屬하며 CA 타입의 热電對와 IC 타입의 补償導線으로 구성된 것을 使用하였다.

(4) 其他: 板材와 通氣카울 사이에 80mesh 鐵絲網을 使用하였고, 치수 测定에는 感度 0.01mm인 screw micrometer를 使用하였으며, 무게 测定에는 感度 0.01g의 천평을 使用하였다.

方 法

本 試驗의 內容은 乾燥中板材의 内部溫度, 含水率, 乾燥速度와 變化 그리고 乾燥板材의 收縮率과 複元率(recovery), 乾燥損傷 等을 研究하기 위해 乾燥條件는 热板溫度 175°C, 圧力 175psi로 하여 乾燥하였다.

1) 板材의 内部溫度(core temperature): 板材가 加熱되어 乾燥槽에 놓여 内部溫度와 横斷面關係가 있을 것으로 보아 乾燥時間 經過에 따라 热電對를 使用해서 内部溫度를 測定하였다. 溫度의 測量位置은板材의 橫斷面에 6cm 떨어진 카울과 株材平端의 小尖에 카울 3.5mm의 구멍을 3cm 깊이까지 파고 热電對를 挿入하여 일정 時間間隔으로 溫度를 測定하였다.

2) 乾燥中 含水率과 乾燥速度: 乾燥時間별 含水率와 乾燥速度를 알기 위해 乾燥時間 5分 間隔으로 乾燥中의板材무게를 測定하였다. 乾燥中 含水率(current moisture content)의 計算은 먼저 乾燥材의 末期含水率(final moisture content)를 式(1)로 求하고, 이를 利用하여板材의 全乾 무게를 式(2)로 求하였다. 이 全乾무게와 乾

燥中의 板材구조를 使用하였式(3)으로 乾燥中 含水率을 求하였다. 그리고 心材板材와 邊材板材의 乾燥中 含水率의 變化를 比較하기 위해 比含水率(relative moisture content)을 求하였다는데, 이는板材의 初期含水率(initial moisture content)를 式(4)로 求한 다음 乾燥中 含水率對 初期含水率의 比로서 나타냈다.

乾燥速度는 乾燥時間 5分 間隔으로 區分해서 式(5)로 求하였다.

$$U_f = \frac{W_{mf} - W_o}{W_o} \times 100 \quad \dots \dots \dots (1)$$

U_f : 末期含水率 (%)

W_{mf} : 末期含水率測定用 試片의 全乾重무게 (g)

W_o : 末期含水率測定用 試片의 全乾무게 (g)

$$W_{bo} = \frac{W_{bf}}{1 + \frac{U_f}{100}} \times 100 \quad \dots \dots \dots (2)$$

W_{bo} : 乾燥板材의 全乾무게 (g)

W_{bf} : 乾燥끝난板材무게 (g)

$$U_i = \frac{W_{bi} - W_{bo}}{W_{bo}} \times 100 \quad \dots \dots \dots (3)$$

U_i : t 乾燥時間에서板材의 乾燥中 含水率 (%)

W_{bi} : t 乾燥時間에서板材의 乾燥中 무게 (g)

$$U_i = \frac{W_{bi} - W_{bo}}{W_{bo}} \times 100 \quad \dots \dots \dots (4)$$

U_i : 板材의 初期含水率 (%)

W_{bo} : 板材의 乾燥前 무게 (g)

$$R = \frac{dg}{dt} \quad \dots \dots \dots (5)$$

R : 乾燥速度 (%/min.)

g : 除去된 水分量 (g)

t : 乾燥時間 (min.)

4) 板材의 치수變化와 乾燥損傷:板材는 乾燥함 때 따라 收縮하고 加熱하면 脂縮되는 热板乾燥時의 收縮의 程度를 알기 위해 乾燥前과 乾燥 끝난 즉시 치수를 検定하여 收縮率을 式(6)으로 求하였다.

그리고 乾燥가 끝난板材는 收縮에 依한 膨脹의 極力去除에 따라 原形으로 復元한다는 性質이 있는 바, 復元의 程度를 알기 위해 乾燥된板材를 恒溫恒濕器에 넣어 溫度 20°C, 開放濕度 65% 조건에서 重量이 될때까지 調整處理를 實施해서 復元率을 式(7)로 求하였다.

$$S = \frac{t - t_c}{t} \times 100 \quad \dots \dots \dots (6)$$

S : 收縮率 (%)

t : 乾燥前 무게 또는 幅 (cm)

t_c : 乾燥後 무게 또는 幅 (cm)

$$r = \frac{t_c - t}{t - t_c} \times 100 \quad \dots \dots \dots (7)$$

r : 復元率 (%)

t_c : 復元後 무게 또는 幅 (cm)

結果 및 考察

1. 板材의 内部温度

邊材板材와 心材板材의 乾燥中 内部温度의 變化는 그림 1과 같다. 内部温度는 乾燥初期에 급속히 上昇하는 단계, 内部温度가 거의 一定하게 유지되는 단계, 内部温度가 서서히 上昇하는 단계 等 3단계로 區分되고 있다. 邊材와 心材板材의 内部温度 變化는 대소 相異하였다. 邊材板材의 内部温度는 乾燥시작 5分만에 103.3°C까지 급격히 上昇한 以後, 약 10分 동안 거의 一定한 温度 즉 plateau temperature를 유지하다가, 그 다음부터 서서히 上昇하여 乾燥時間 40分에 内部温度는 150°C에 到達하였다. 이때에 乾燥板材의 末期含水率은 3.8%이었다. 心材板材의 内部温度는 乾燥시작 5分만에 106°C까지 급격히 上昇한 以后, 약 15分 동안 plateau temperature를 유지하다가, 그 다음 부터 서서히 上昇하여 乾燥時間 45분에 内部温度는 150°C에 到達하였다. 이때에 乾燥板材의 末期含水率은 2.4%이었다.

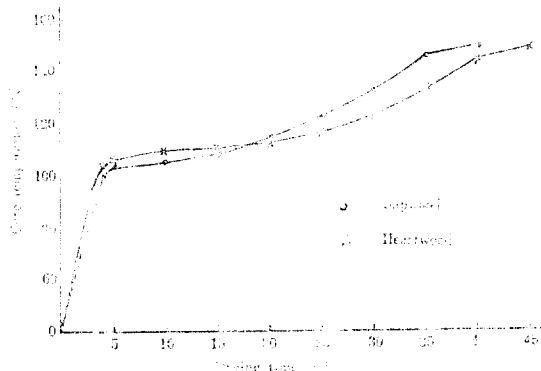


Fig. 1. Change of core temperature during press drying

乾燥中 内部温度의 變化에서 3단계로 區分되는 까닭은 乾燥初期에 含水率이 높은板材는 高溫의 热板으로부터 热傳導가 잘 되며, 加熱한 热量이 氧化에 소모된 热量보다 훨씬 크기 때문에 급격히 内部temperature가 上昇한다. 그 以後부터는 乾燥에 依해 表層의 含水率이 低下되면서 热傳導率가 대소 互여지며, 供給되는 热量은 内層에 存在하는 自由水의 氧化에 소모되는 热量과 균형을 이루기 때문에 内部temperature가 거의 一定하게 유지될 것이다. 内層에 存在하는 自由水가 모두 除去된 以後結合水만이 남게되면,結合水는 自由水보다 木質과 分離 및 移動이 현저히 느리기 때문에結合水의 除去에 소모되는

는 热量은 供給되는 热量보다 차차 적어짐으로 内部溫度는 서서히 上昇하는 것으로 生覺된다.

邊材板材와 心材板材의 内部溫度의 差異를 考察해 보면 心材板材는 邊材板材보다 첫째 乾燥初期에 溫度上昇이 빠르고, 둘째 plateau temperature가 높고 유지되는期間이 길며, 셋째 内部溫度가 150°C에 到達되는 乾燥時間이 길었다. 이와같이 乾燥初期에 溫度上昇의 差異는 心材가 邊材보다 透過性이 크게 떨어질 뿐만 아니라, 比重과 含水率이 높았고 抽出物의 含量이 많은데 其因된 것으로 보인다. 一般的으로 木材의 热傳導度는 密度, 含水率, 抽出物의 含量이 증가됨에 따라 커지는 것으로 報告되어 있다.^{9,10)} Turkia(1968)¹¹⁾에 依하면 内部溫度는 透過性, 初期含水率, 壓力, 溫度 등에 따라 变化한다고 報告하였다.

그리고 心材의 plateau temperature가 邊材보다 높고 오래동안 유지되는 것은 心材가 邊材보다 透過性이 적어서 乾燥中水分의 除去가 느린다. 이로 因하여 心材의 内層에는 水蒸氣壓이 높아져서 内部溫度의 上昇을 초래케 되고, 또한 自由水의 除去가 느린 關係上 그 만큼 内部溫度는 오래동안 一定하게 유지되게 된다. 反面에 邊材는 透過性이 좋기 때문에 乾燥中에 自由水는 内部에서 外部로 쉽게 流動되기 때문에, 邊材의 内部溫度는 心材의 것 보다 plateau temperature가 낮고 짧으며, 乾燥末期에 内部溫度가 빨리 上昇되는 것으로 生覺된다.

本 試驗에서 内部溫度의 變化는 Hittmeier et al(1967)^{5), Warg (1975)¹²⁾ 等의 red oak를 供試하여 報告한 내용과 비슷하였다. 本 試驗에서 求한 plateau temperature는 邊材가 103~109°C이고, 心材는 106~112°C였으나, Hittmeier가 報告한 red oak의 plateau temperature는 219~243°F이었다.}

2. 乾燥中 含水率과 乾燥速度

邊材板材와 心材板材의 乾燥中 含水率과 比含水率의

變化는 그림 2와 같고, 乾燥時間別 含水率 變化는 曲線의 으로 減少하였다. 乾燥時間 45分 동안에, 邊材板材는 初期含水率 59%에서 末期含水率 2.5%까지 乾燥되었으나, 心材板材는 初期含水率 64%에서 末期含水率 9.0%까지 乾燥되었다.

比含水率의 變化曲線을 보면 邊材板材는 心材板材보다 빨리 乾燥되는 것을 알 수 있다. 이는 心材와 邊材보다 抽出物含量이 높고, 또한 pit aspiration에 依한 透過性이 떨어지는 데 因한 것으로 生覺된다.

邊材板材와 心材板材의 각 乾燥時間에 있어서 乾燥速度는 表 2와 그림 3과 같이 曲線의 으로 나타나고 있다. 乾燥時間 x 에 對한 乾燥速度 y 의 關係를 統計分析한結果는 表 3과 같다. 邊材板材의 각 乾燥時間에 있어서 乾燥速度에 對한 回歸式은 $\log y = -2.7925 - 0.0811x$ 이며, 相關係數가 $r = -0.970$ 으로 高度의 有意性을 보여주는 狀態에서 回歸係數는 負의 高度의 有意性을 보여주고 있다. 그리고 心材板材의 각 乾燥時間에 있어서 乾燥速度에 對한 回歸式은 $\log y = -3.3382 - 0.0468x$ 이며, 相關係數가 $r = -0.976$ 로 高度의 有意性을 보여주

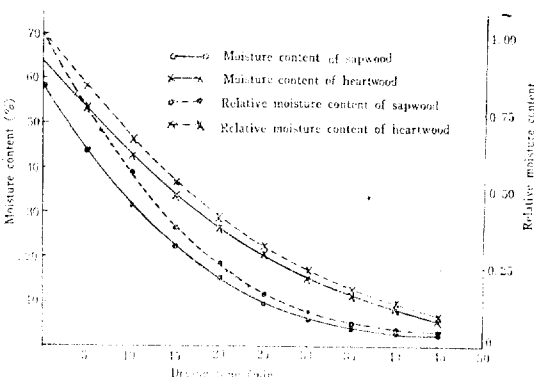


Fig. 2. Moisture content and relative moisture content during press drying.

Table 2. Average drying rate ($10^{-4}\%/\text{min.}$) in different drying times.

Wood type	Drying time(min.)										Final moisture content (%)
	5	10	15	20	25	30	35	40	45	50	
Sapwood	294	241	184	146	110	75	42	22	10		2.5
Heartwood	211	224	174	147	121	101	82	60	50	32	19

Table 3. Summary table of regression relation between drying time and drying rate.

Sapwood or heartwood	Regression equation	F.	r
Sapwood	$\log Y = -2.7925 - 0.0811X$	112.42**	-0.970**
Heartwood	$\log Y = -3.3382 - 0.0468X$	177.83**	-0.976**

는 狀態에서 回歸係數는 負의 高度의 有意性을 보여주고 있다. 邊材板材나 心材板材는 모두 乾燥時間이 경과함에 따라 乾燥速度는 減少되고 있었다. 邊材板材의 乾燥速度는 心材板材의 乾燥速度보다 乾燥前期에는 커었으나 乾燥後期에는 적었다. 이와 같이 乾燥時間別에 따라 邊材板材와 心材板材의 乾燥速度의 差異는 邊材는 心材보다 透過性이 커서, 乾燥前期에 상당한水分이 除去됨에 따라 乾燥後期에는 상용하며 乾燥速度가 떨어지게 되는 것으로 生覺되고, 反面에 心材는 aspirated pit와 tylosis의 存在, 抽出物의 높은 含量때문에 水分流動이 느려서 乾燥前期에는 邊材보다 乾燥速度가 떨어지나, 乾燥後期에는 邊材보다 높은 含水率로 因하여 乾燥速度가 큰 것으로 生覺된다. 本試驗에서 일어진 乾燥速度는 Turkia(1968)¹⁴⁾의 邊材板材의 乾燥時間別 乾燥速度, Hittmeier(1967)⁵⁾의 plateau temperature別에 따른 乾燥速度, 그리고 Wang(1975)¹⁶⁾의 red oak의 乾燥時間別 比含水率로 나타낸 乾燥速度 等의 變化曲線과 유사한 경향을 나타내고 있다.

3 乾燥板材의 치수變化와 乾燥損傷

末期含水率 3%까지 乾燥될 때에 板材의 두께收縮率과 幅收縮率, 溫度 20°C, 關係溫度 65% 條件에서 平衡狀態에 倒達될 때에 復元率은 表 4와 같다. 두께收

縮率과 標準偏差는 20.4 ± 2.0 이고 幅收縮率과 標準偏差는 2.5 ± 0.9 이다. 그리고 두께 復元率과 標準偏差는 11.4 ± 2.1 이고 幅復元率과 標準偏差는 49.4 ± 29.0 이다.

熱板乾燥에서 두께收縮率은 木材의 正常의 收縮率보다 커었으나 幅收縮率은 오히려 적었다. 이는 热板乾燥할 때에 水分除去에 依한 收縮과 同時に 加壓에 依한 壓縮이 됨으로 두께收縮은 더욱 커지나, 幅收縮은 加壓에 依해 억제되기 때문에 적어진다.

Koch(1964)⁷⁾는 소나무 乾燥試驗에서 热板乾燥의 收縮率은 天然乾燥, 热氣乾燥, jet dhyer와 roller veneer dryer에 依한 乾燥에서 보다 큰 事實을 報告하였다. Hittmeier(1975)⁵⁾는 red oak의 热板乾燥時 두께收縮率

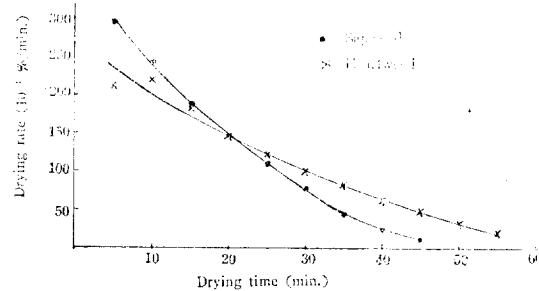


Fig. 3. Drying rate during press drying.

Table 4. Dimensional change

No	Final moisture content (%)	Shrinkage(%)		Recovery(%)		Wood type
		Thickness	Width	Thickness	Width	
1	2.0	21.4	3.4	14.2	67.2	Sapwood
2	3.2	21.6	1.3	10.9	86.4	"
3	1.6	20.8	2.2	14.5	77.5	"
4	3.8	23.1	1.3	8.5	68.1	"
5	4.5	21.5	1.3	5.3	72.7	"
6	3.0	22.2	2.6	14.6	22.9	"
7	2.9	22.3	3.6	9.7	31.9	"
8	3.2	22.5	1.9	10.5	29.4	"
9	2.8	18.4	3.4	10.7	25.4	Heartwood
10	3.3	19.8	2.0	14.3	94.1	"
11	0.8	19.2	1.9	11.2	93.8	"
12	3.0	15.2	2.9	13.0	32.7	"
13	3.1	19.3	1.5	11.3	23.0	"
14	2.1	21.1	3.9	12.9	20.8	"
15	3.8	18.5	3.8	10.7	25.7	"
16	5.0	19.5	3.4	9.7	19.4	"
Mean	3.0	20.4	2.5	11.4	49.4	
Standard deviation	1.0	2.0	0.9	2.1	29.0	

10.1~19.6%, 幅收縮率 1.4~4.3%이었고, post oak의 두께收縮率 10.0~15.1%, 幅收縮率 0.3~3.5%로 報告된 內容은 本 試驗結果와 유사하다. Ziegler(1971)¹⁷는 eastern hemlock의 두께收縮率은 壓力이 일정하면, 乾燥時間이 길고 溫度가 높을수록 그 事實을 報告하였으며, Wang(1975)¹⁸은 red oak의 두께變化는 壓力이 크고, 初期含水率이 높고, 末期含水率이 적을수록 커진다고 報告하였다.

低含水率까지 乾燥된 板材를 放置해 두면 吸濕에 依해 膨潤되고, 異류 應力이 除去됨에 따라 復元될리는 性質이 있다. 復元率은 低含水率까지 乾燥된 板材가 氣乾狀態에 까지 吸濕됨에 따라 일단 일어난 收縮量이 復元率만큼 回復되는 것이다. 幅收縮量은 거의 半정도 復元되나, 두께收縮量은 不過 11.4% 정도로 復元되었다. Wang(1975)¹⁸은 復元率이 여러 가지 因子에 따라 다르게 収縮率, 溫度 및 木理方向에 따라 달라진다고 報告하였다.

熱板乾燥時에 乾燥損傷에 있어서는 邊材板材는 乾燥損傷이 거의 나타나지 않았으나, 心材板材는 大部分 内部割裂이 심하게 나타났다. 心材板材의 内部割裂은 透過性이 적어서 水分排除가 느리기 때문에板材 内部壓力을 높여서 斷裂이 나타나는 것으로 생각된다. Hittmeier(1967)⁹는 두께가 두꺼운 木材일수록 内部割裂이 심하다고 하였으며, Haygreen(1968)³은 tyloses가 存在하는 心材는 内部割裂, collapse의 原因이 된다고 報告하였다.

引 用 文 獻

- Cesh, M.Y., Goulet, M. 1968. Transverse compression treatment of wood to improve its drying behavior. Forest Prod. J. Vol. 18, No. 5:90-91.
- Hann, R.A. 1966. Theoretical considerations in the drying of wood at pressures above atmospheric. Forest Prod. J. 16(4).
- Haygreen, J.G. and Turkia, 1968. Technical and economic considerations in the platen drying of aspen sapwood and paper birch cut stock. Forest Prod. J. Vol. 18, No.8.
- Heebink, B.G. and K.C. Compton, 1966. Paneling and flooring from low grade hardwood logs. U.S. Forest Service Res. Note, EPL-0122 : 24
- Hittmeier, M.E., G.L. Comstock and R.A. Hann, 1968. Press drying nine species of wood. Forest products journal Vol. 18, No. 9 : 91-96.
- Kimball, K.E., 1968. Accelerated methods of drying thicksliced and thin-waved loblolly pine. Forest prod. J. Vol. 18, No. 1.
- Koch, Peter, 1964. Techniques for drying thick southern pine veneer. Forest Prod. J. 14(9):382-386.
- Koch, P. 1972. Utilization. of the southern pines. Vol. I. Raw material. USDA Forest Service. U.S. Government Printing office. :307-314.
- Kollmann, F.F.P. and W.A. Cote 1968. Principles of wood science and technology. Vol. I. Springer Verlag.
- Lutz, J.F., and Plaeger H.R., 1974. Pressdrying green flatsliced walnut veneer to reduce buckling and end waviness. Forest Prod. J. Vol. 24, No. 5. :29-34.
- McKean, Herber, B. 1966. Hot press drying of beech billets. FPRS News Digest, File No. G-1, 7. 29.
- Schmidt, J., 1967. Press drying of beechwood. Forest Prod. J. 17(9): 107-113.
- 寺澤眞, 簡本卓造, 1966. 木材の人工乾燥, 日本木材加工技術協会
- Turkia, and Haygreen, 1968. Platen drying of aspens sapwood. Forest Prod. J. 18(6):43-48.
- U.S. D.A. 1974. Wood Handbook. Agriculture. Handbeck. No.72. U.S. Government Printing Office.
- Wang, J.H., F.C. Beall. 1975. Laboratory press-drying of red oak. Wood science Vol.8. No.2.
- Ziegler, G.A., W.K. Murphrey, F.C. Beall. 1971 Operational variables in press drying earstern hemlock. Forest. Prod. J. 11(10):32-34.